



بررسی تغییرات توپوگرافی ناشی از معدن کاری سطحی با استفاده از تداخل سنجی راداری روش SBAS (مطالعه موردی: معدن سنگ آهن سنگان خواف)

مهوش نداف سنگانی^۱، سید رضا حسینزاده^{۱۰}، خوزه فرانسیسکو مارتین داک^۲، مهندز جهادی طرقی^۳، ناصر حافظی مقدس^۵

۱. دانشجوی دکتری ژئومورفولوژی، دانشگاه فردوسی مشهد، مشهد

۲. دانشیار ژئومورفولوژی، دانشگاه فردوسی مشهد، مشهد

۳. دانشیار ژئومورفولوژی، دانشگاه کمپلوقنسه مادرید، مادرید، اسپانیا

۴. استادیار گروه چهارم (گرایش ژئومورفولوژی)، دانشگاه پیام نور، تهران

۵. استاد زمین‌شناسی، دانشگاه فردوسی مشهد، مشهد

تاریخ پذیرش مقاله: ۱۴۰۱/۱۰/۲۴

تاریخ دریافت مقاله: ۱۴۰۰/۰۳/۰۱

چکیده

معدن کاری سابقه‌ای طولانی دارد و در طیف گسترده‌ای از محیط‌های ژئومورفیک رخ می‌دهد. میزان تغییراتی که این فعالیت‌های معدن کاری در مورفولوژی و محیط معدنی بوجود می‌آورند گاه به اندازه‌ای است که محیط اطراف را دچار تغییرات اساسی و خسارات فراوانی می‌کند و ازین‌رو این تغییرات نیازمند پایش دقیق است. از اوایل دهه ۱۹۹۰ تا داخل سنجی راداری بهصورت ابزاری مفید در مطالعه تمامی پدیده‌هایی که سبب تغییر سطح زمین می‌شوند، مطرح شده و به کار رفته است؛ بدین معنا که اگر سطح زمین بین دو تصویر راداری تغییرشکل بیابد، می‌توان نقشه جابه‌جایی سطحی را با وضوح و دقت میلی‌متری ایجاد کرد. این مقاله یافته‌های حاصل از اجرای روش SBAS روی سری زمانی مجموعه داده‌های سنتیل. ۱ برای شناسایی تغییرشکل‌های سطحی، در معدن سنگ آهن سنگان- خواف بهمنزله یک معدن سطحی رویارا گزارش می‌دهد. معدن سنگ آهن سنگان از بزرگ‌ترین و غنی‌ترین ذخایر سنگ آهن در خاورمیانه و ایران است. این معدن، برآثر برداشت و استخراج سنگ آهن، دچار تغییرات فراوان توپوگرافی و ژئومورفولوژی شده است که این تغییرات می‌تواند سبب تشدید فرایندها و مخاطرات ژئومورفولوژیکی شود. برای تخمین و به دست آوردن مقدار تغییرشکل سطح زمین، از ۴۸ تصویر SAR از معدن سنگ آهن سنگان استفاده شده است. این تصاویر با استفاده از ماهواره سنتیل. ۱ آرائیس فضایی اروپا به دست آمد. سری زمانی (۲۰۲۰-۲۰۱۴) حاصل از تغییرشکل در محدوده معدن پلاسری تجزیه و تحلیل شد. نتایج به دست آمده میزان متوسط جابه‌جایی -۲۰ تا -۳۵ میلی‌متر در سال و حداقل میزان تجمعی تغییرات -۱۲۰ میلی‌متر را نشان می‌دهد. بررسی نیم‌رخ عرضی در نواحی ابتدایی مخروط‌افکنه در معادن پلاسری، طی بازه زمانی ۲۰۲۰-۲۰۱۴، شدت تغییرات توپوگرافی را به خوبی نشان می‌دهد. برای ارزیابی قابلیت اطمینان نتایج، به دلیل نبود داده (ایستگاه GPS) در محدوده معدن پلاسری، نتایج مشتق از SBAS با مقادیر اندازه‌گیری شده از طریق توقال استیشن مربوط به واحد ژئومورفولوژی کوهستان منطقه معدنی در سال‌های ۲۰۲۰-۲۰۱۴ به کار رفته است. نتایج نشان داد که میزان تغییرات حاصل از داده‌های راداری با استفاده از روش SBAS در مقایسه با داده‌های نقشه‌برداری زمینی، الگوی تقریباً مشابه را طی کرده است اما تفاوت‌هایی نیز دارد که ممکن است ناشی از ماهیت متفاوت برداشت (در نقشه‌برداری زمینی، تغییرات ارتفاعی برای یک نقطه اندازه‌گیری می‌شود اما، در تداخل سنجی، مقدار میانگین از نقاط مجاور یکدیگر به دست می‌آید) و از همه مهم‌تر، وجود نداشتن داده‌های متوالی ترازیابی در سطح پلاسری‌ها به منظور ارزیابی دقیق تر نتایج است.

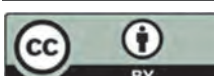
کلید واژه‌ها: سنگ آهن سنگان، خواف، تداخل سنجی راداری، SBAS، سنتیل. ۱.

* نویسنده مکاتبه کننده: دانشگاه فردوسی مشهد، دانشکده ادبیات و علوم انسانی، گروه آموزشی چهارمی.

Email: srhosseinzadeh@um.ac.ir

<https://orcid.org/0000-0002-8653-5473>

<https://dx.doi.org/10.48308/gisj.2023.102345>



Copyright: © 2023 by the authors. Submitted for possible open access publication under the terms and conditions of the Creative Commons Attribution (CC BY) license (<https://creativecommons.org/licenses/by/4.0/>).

۱- مقدمه

زیستمحیطی می‌است. باطله‌ها شامل مواد و سنگ‌هایی است که پس از جداکردن کانی‌ها و مواد ارزشمند از سنگ‌معدن، باقی می‌ماند. طی سال‌های بهره‌برداری از معدن، میزان تولید مواد باطله افزایش می‌یابد. به طور کلی، با استفاده از روش‌های میدانی مانند سیستم‌های موقعیت‌یابی جهانی (GPS) و توtal استیشن (TS)، می‌توان تغییر‌شکل‌های سطح زمین را نقشه‌برداری کرد (Ge et al., 2007) اما این روش‌ها محدودیت‌های زیادی دارند و با افزایش وسعت مناطق اندازه‌گیری، ممکن است وقت‌گیر باشند. علاوه‌براین، این شیوه‌ها اندازه‌گیری را به صورت نقطه‌ای و محدود انجام می‌دهند؛ به این معنی که دستیابی به میزان تغییر‌شکل سطح قابل تفسیر منطقی، در منطقه‌ای وسیع، کاری بسیار دشوار است (Zhang et al., 2011). در حال حاضر روش‌های مورد استفاده برای تغییرات سطحی زمین، در معادن روباز، روش‌های سنجش از دور با پسوند SAR¹، به منزله رویکردی جدید، می‌تواند با پوشش مکانی گسترده و تصویر دارای وضوح بالا، تغییرات سطح زمین را بررسی کند. تکنیک‌های تداخل‌سنجدی با استفاده از داده‌های مایکروویو² قابلیت تشخیص تغییر‌شکل دقیقه‌با دقت میلی‌متر روی زمین را دارند. در این فناوری، با تلفیق داده‌های حاصل از سیستم‌های تصویربرداری رادار که روی سکوهای ماهواره‌ای یا هوایی‌مایی نصب شده است، حرکت، ارتفاع و تغییرات سطح زمین نقشه‌برداری می‌شود. طی دو دهه گذشته، تداخل‌سنجدی تفاضلی راداری³ به دلیل پوشش مکانی و دقت بالا، اثبات کرده که راهی مؤثر و بسیار موقت‌آمیز برای نظارت بر تغییرات گوناگون سطح زمین است (Hu et al., 2012). رویکرد جدید نظارت مکمل مهمی برای روش‌های قدیمی و رایج نقشه‌برداری ژئودتیکی به شمار می‌رود (Li et al., 2014).

-
1. Interferometric Synthetic Aperture Radar
 2. Synthetic Aperture Radar
 3. Differential InSAR

در سال‌های گذشته، میزان اختلال و تغییرات ایجادشده از طریق معدن‌کاری، در پاسخ به تقاضاهای روزافزون اقتصادی و ظرفیت‌های در حال پیشرفت فناوری، بیشتر و مهم‌تر شده است. استخراج منابع طبیعی برای تولید کالا باعث افزایش فشار بر زمین و محیط‌زیست می‌شود. فعالیت‌های انسانی، با تغییر مورفولوژی، اثر شایان توجهی در زمین برجای می‌گذارد (Ellis, 2011; Brown et al., 2013; Tarolli, 2014; Foley et al., 2005). فعالیت‌های انسانی، با ایجاد اختلال در تعادل سطح، تغییر‌شکل مداوم را افزایش می‌دهد. تغییر‌شکل سطح زمین موضوع بسیار مهمی در ریشهٔ صنعت معدن روباز شمرده می‌شود. استخراج معدن روباز فعالیتی انسانی با هدف برش سطح زمین است. این فعالیت ممکن است تغییرات ژئومورفیکی چشمگیر در معدن ایجاد کند و در تکامل سطح زمین تأثیر بگذارد (Tarolli & Sofia, 2016). در طول فرایند استخراج، سطح زمین به مدت طولانی در وضعیتی تاپایدار قرار می‌گیرد که این وضعیت سبب آسیب رسیدن به محیط طبیعی و درنتیجه، تشکیل محیطی با عمق منفی و شیب‌های تند در مقیاس بزرگ، ایجاد مجموعه‌ای از خط‌های ژئومورفولوژیکی، فرسایش خاک و دیگر موارد می‌شود. همچنین ممکن است برنامه ریزی معدن را مختل کند و هزینهٔ تولید معدن را افزایش دهد. پیش‌بینی و مدیریت مؤثر تغییر‌شکل‌های ناشی از استخراج معدن در سطح زمین باید به دغدغه‌ای اساسی برای صنعت معدن تبدیل شود. حفاری‌های سطحی از مهم‌ترین فعالیت‌های معدنی است و میزان تغییراتی که این عملیات در ژئومورفولوژی محیط ایجاد می‌کند گاه به قدری است که محیط اطراف به طور کلی دچار تغییرات اساسی و مخاطرات فراوان می‌شود. بررسی این تغییرات و پیشنهاد راه حل مناسب چه‌بسا راهگشای بسیاری از مشکلات باشد. توسعهٔ صنایع و درنتیجه، رشد اقتصادی به تولید میزان معتبره مواد باطله منجر می‌شود که متأسفانه منشأ پدیدآمدن تغییرات ژئومورفولوژیکی و

تغییرات ناشی از فرونشست را با دو روش PS و SBAS بررسی کردند. مطابق با جایه جایی فرونشست چندین سایت نماینده در منطقه معدن، مشخص شد نتیجه PSI مقدار جایه جایی نشت بالاتری را در مقایسه با نتیجه SBAS دربردارد و فعالیتهای معنی با فرونشست زمین در منطقه معدن همراه بود. پدیده فرونشست زمین با افزایش مقدار معنی کاری تشديد می شود. یوآن^۸ و همکاران (۲۰۲۱) الگوی فرونشست در مناطق معدن کوهستانی ژانجیامائو^۹ را در شمال استان شانکسی^{۱۰}، شمال غرب چین، با استفاده از SBAS بررسی کردند. نتایج تحلیل نشان داد که معنی کاری، در دو وجهه معنی ۱۵۰۹ و ۱۵۲۱۰، باعث نشت آشکار قیفی شکل شده است. علاوه بر این، محدوده واقعی فرونشست منطقه معدن با استفاده از فناوری SBAS-InSAR به دست می آید. یائو^{۱۱} و همکاران (۲۰۲۱) در منطقه معدن زغال سنگ شرق اوردون، مغولستان داخلی، چین، روشی را پیشنهاد کردند که هر دو D-InSAR متواتی چندزمانی و فتاوری دیابی را برای ایجاد یک میدان تغییرشکل کامل، ترکیب می کند.

دو^{۱۲} و همکاران (۲۰۲۱) از روش SBAS-InSAR برای به دست آوردن اطلاعات فرونشست سطحی سه ساله در منطقه ای معنی (باطله و مناطق فعل) در کوههای تیانشان و اطراف آن (چین) استفاده کردند. طبق نتایج این پژوهش، منطقه مورد مطالعه فرونشست چشمگیری، با حداقل میزان ۴۴/۸۰- میلی متر، داشته است.

اما، به علت وجود محدودیت هایی، عملکرد آن نیز تا حدود زیادی محدود می شود (Ferretti et al., 2001). مسائل ناشی از فقدان همبستگی زمانی و مکانی اغلب Zebker & Villasenor, 1992 زمانی (TS-InSAR)^۱ در اواخر دهه ۱۹۹۰ توسعه یافت؛ در این شیوه، تصاویر چند SAR به دست آمده در تاریخ های متفاوت مشترکاً تجزیه و تحلیل می شود. اساس کار، در اندازه گیری حرکات سطح زمین، استفاده از تصاویر تکراری رادار است. تصویری که از یک منطقه در زمانی مشخص برداشت می شود (زمان مرجع) با تصویر برداشت شده در زمان دیگر، از طریق همان سنجنده رادار، تلفیق می شود. نخستین تداخل سنجی راداری برای مطالعه حرکات سطح زمین را گابریل^۲ و همکاران (۱۹۸۹) انجام دادند. طی پانزده سال گذشته، بسیاری از روش های TS-InSAR برای به حداقل رساندن متابع خطای روش رایج DInSAR توسعه داده شده است. به طور کلی، می توان این شیوه ها را در دو دسته قرار داد:

۱) تکنیک هایی که فقط از یک تصویر اصلی برای تولید مجموع تداخل نما استفاده می کنند. این رویکرد تغییرشکل زمین را در پیکسل های پراکنش کننده پایدار (PS)^۳ تخمین می زند. این روش ها، به جای داشتن سلولی با وضوح چند منظوره، این مزیت را دارند که تغییرشکل را با پراکندگی خاصی مرتبط کنند؛

۲) استفاده از تداخل نماهای چند پایه^۴ که فقط پیکسل های به اصطلاح، پراکنش کننده های توزیع شده (DS)^۵ برای تجزیه و تحلیل بیشتر انتخاب می شوند. برخلاف پیکسل های PS که ویژگی های پراکنش آنها به خط مبنای مکانی و زمانی حساس نیست، پیکسل های DS فقط با خط مبنای محدود مکانی و زمانی می توانند ویژگی های پراکنش خود را حفظ کنند؛ مثلاً روش SBA^۶ (Berardino et al., 2002)، لیو^۷ و همکاران (۲۰۲۲)، در معدن طلا در چین،

-
- 1. Time Series
 - 2. Gabriel
 - 3. Persistent Scatterer
 - 4. Master
 - 5. Distributed Scatterer
 - 6. Small Baseline Subset
 - 7. Liu
 - 8. Yuan
 - 9. Zhangjiaomo
 - 10. Shaanxi
 - 11. Yao
 - 12. Du

محدوده معدن نانهو در تانگشان^{۱۳}، برای نمونه، نتایج مداوم فرونشست زمین در این منطقه معدنی را حداکثر ۷۰ سانتی متر در سال محاسبه کردند که تغییرشکل زمین و روند آن را بهوضوح مشخص می کند. براساس نتایج InSAR شیوه‌ای مفید برای نظارت بر فرونشست زمین در مناطق معدنی است و داده‌های بیشتری را برای بازسازی محیط معدن فراهم می کند.

لیو و همکاران (۲۰۱۹) سری‌های زمانی تغییرشکل ناشی از معدن کاری براساس روش SBAS در معدن نمک چانگده^{۱۴} چین را تحلیل کردند. طبق نتایج، حداکثر فرونشست تجمعی تا ۱۹۹ میلی‌متر تشخیص داده شد. شامی^{۱۵} و همکاران (۲۰۱۸) در معدن گل‌گهر سیرجان، با استفاده از تصاویر راداری ماهواره اanoیست^{۱۶}، مطالعه‌ای انجام دادند و برای پردازش تصاویر راداری، از نرم‌افزار StaMPS استفاده کردند. در این پژوهش مشخص شد، با تغییر مقدار چندمنظورسازی^{۱۷} تصاویر از مقدار ۲۲ به ۵ برای آزمیوت^{۱۸} و ۴ به ۸ برای رنج^{۱۹} (کوچک کردن ابعاد پیکسل‌های تصویر)، تشخیص میزان جابه‌جاوی افزایش می‌یابد. بیشترین فرونشست به‌دست آمده برای یک نقطه در این معدن، پس از تغییر چندمنظورسازی، از ۵۸-۵۸ میلی‌متر به ۱۵-۱۵ میلی‌متر و حجم محاسبه شده از هجده‌هزار مترمکعب به یازده‌هزار

آنها به این نتیجه رسیدند که اندازه‌گیری‌های SBAS می‌توانند، در قیاس با روش اندازه‌گیری InSAR سیستم ماهواره‌ای ناوبری جهانی^۱، تغییرشکل‌هایی با دقیق بالا در منطقه‌ای وسیع و هزینه و منابع انسانی و مالی کمتری دربر داشته باشند.

پاولوزک-فیلیپیاک و بورکووسکی^{۲۰}، با تلفیق روش‌های DInSAR و SBAS، تغییرشکل زمین را در معدن ریدوتلووی^۳ لهستان مطالعه کردند. نتایج مطالعه در این مناطق، بین SBAS و DInSAR نشان می‌دهد که روش SBAS شیوه‌ای مطمئن برای نظارت بر فرونشست است. ژو^۴ و همکاران (۲۰۱۸) فرونشست سطحی را در معدنی در شهر فنگ چن، استان جیانگسوی چین، با استفاده از روش SBAS بررسی کردند. نتایج مطالعه نشان داد این روش بر مشکل کوهرنسی^۵ شیوه رایج D-InSAR غلبه می‌یابد؛ همچنین تغییرشکل پیوسته زمین، ناشی از معدن کاری سطحی را می‌توان طی زمان به دست آورد و ویژگی‌های نشست سطح زمین ناشی از فرونشست معدن در دوره‌های گوناگون را نمایش داد. بنابراین دقیق و قابلیت اطمینان نتایج پایش پیشرفت کرده است. تانگ^۶ و همکاران (۲۰۲۰) نقشه‌برداری از جابه‌جاوی زمین و بی‌ثباتی شبیب بیش از سه معدن روباز (هامباخ^۷، گارتسوایلر^۸ و ایندن^۹) را در معدن زغال سنگ رنیش^{۱۰} آلمان، با استفاده از الگوریتم SBAS مطالعه کردند. هدف آنها، از این پژوهش، طرح راه حل‌های نظارت طولانی مدت برای عملیات معدن کاری روباز و اطراف این مناطق بود. در مناطق احیا شده، فرونشست زمین مشاهده شد که به ترتیب برای معادن هامباخ، گارتسوایلر و ایندن سالیانه بیش از ۵۰۰ میلی‌متر، ۳۸۰ میلی‌متر و ۳۱۰ میلی‌متر بود. تانگ و همکاران متوجه شدند روند تراکم مواد زائد عامل اصلی فرونشست زمین است. در مناطق نزدیک به بخش‌های فعلی معادن، بالآمدگی زمین دیده شد که احتمالاً به دلیل فعالیت‌های حفاری بوده است. تانگ^{۱۱} و همکاران (۲۰۲۰) با ترکیب روش‌های IPTA^{۱۲} و SBAS در

1. Global Navigation Satellite System
2. Pawluszek-Filipiak & Borkowski
3. Rydułtowy
4. Zhu
5. Coherent
6. Tang
7. Hambach
8. Garzweiler
9. Inden
10. Rhenish
11. Zhang
12. Interferometric Point Target Analysis
13. Nanhу, Tangshan
14. Changde
15. Shami
16. Envisat
17. Multi-looking
18. Azimuth
19. Range

سیصد کیلومتری جنوب شرق مشهد و هجده کیلومتری شمال شرق شهر سنگان، با عرض جغرافیایی $34^{\circ} 24'$ تا $34^{\circ} 55'$ شمالی، طول جغرافیایی $50^{\circ} 16' 60^{\circ}$ تا $50^{\circ} 16'$ شرقی، در خراسان رضوی و سی کیلومتری غرب مرز افغانستان، شمال شرق ایران، قرار دارد (شکل ۱).

۲-۲- داده‌های پژوهش

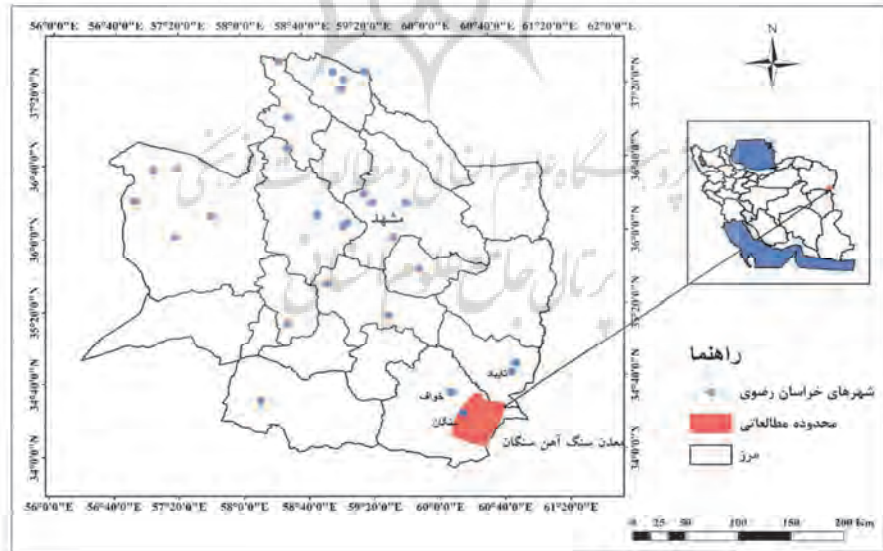
در این مطالعه، مجموعه‌ای از ۴۸ تصویر سنتیل-۱ بازد C در بازه زمانی اکتبر ۲۰۱۴ تا جولای ۲۰۲۰ استفاده شده است. این داده‌ها به طور رایگان از سایت آژانس فضایی اروپا (ESA) تهیه شد. سنتیل-۱ را ESA در چهارم آوریل ۲۰۱۴ راه اندازی کرد. تصاویر با پهنای ۲۵۰ کیلومتر، با زمان بازگشت دوازده‌روزه، با مدل IW تهیه می‌شود. اگر تصاویر به دست آمده از ماهواره سنتیل-۱ B در دسترس باشد، مدت این بازگشت به شش روز کاهش می‌یابد. تمامی تصاویر سنتیل-۱ A به کاررفته در این مطالعه پولاریزاسیون با زاویه فرود^۳ تقریباً ۴۳ درجه دارد. VV

متر مکعب تغییر یافت. به طور کلی، در تحقیقات انجام شده، اغلب فرونشست در معادن زیرزمینی مطالعه شده و نتایج مطلوبی به دست آمده است. معدن سنگان یک معدن سطحی روباز است و فعالیت‌های معدن کاری شدید در معدن سنگ‌آهن آن تأثیر ژئومورفولوژی عمیقی در منطقه و محیط‌زیست آن می‌گذارد؛ بنابراین پایش تغییرات ناشی از معدن کاری و درک آن در محیط، با شدت زیاد، برای اصلاح و بازسازی ژئومورفولوژیکی منطقه مهم است. در این تحقیق، تغییرات سطحی و توپوگرافی ناشی از معدن کاری، در معدن سنگ‌آهن سنگان خواه، بررسی شده است.

۲- مواد و روش‌ها

١- موقعیت منطقه مورد مطالعه

معدن سنگ آهن سنگان از بزرگ‌ترین و غنی‌ترین معدن‌ها در ایران و خاورمیانه است که در ناحیه‌ای با وسعت ۲۲۰ کیلومترمربع قرار دارد. ذخایر سنگ آهن، حاوی کل منبع زمین‌شناسی $\frac{1}{2}$ میلیارد تن، اغلب مگنتیت با درجه آهن از ۶۱٪ تا ۷۷٪ است. این معدن در



شكل ١. موقعية منطقة مورد مطالعه

1. Sangan Iron Ore Mines
 2. Interferometric Wide Swath
 3. Incidence Angle

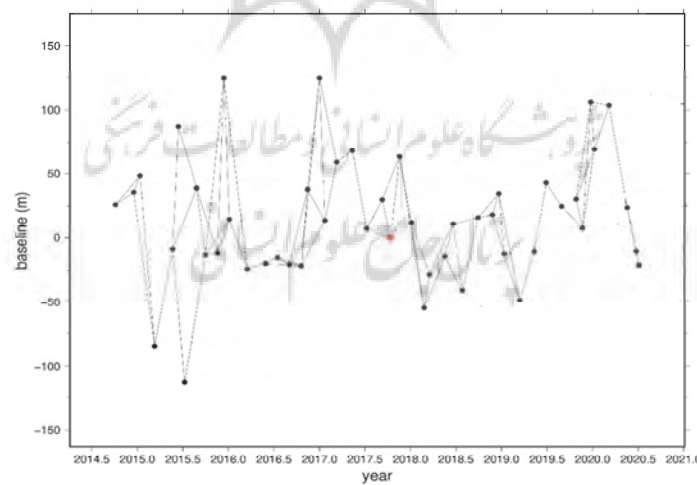
بروز خطای توپوگرافی بیشتر در فازهای انتقام

می‌شود.

پس از ثبت تصاویر SAR با خط مبنای مکانی کمتر از ۱۵۰ متر و خط زمانی کمتر از یکصد روز و نیز بررسی و انتخاب کوهرنسی مناسب، درمجموع، ۸۱ جفت تداخل سنج برای تولید تداخل نما استفاده شد. با استفاده از سیستم پردازش InSAR براساس نرم افزار GMTSAR و آستانه ۰/۰۵ و طول موج فیلتر^۱ ۱۰۰، اینترفروگرام‌های آنرب شده برای جفت‌های تصویر انتخابی، ایجاد شد. برای حذف اثر توپوگرافی، از مدل رقومی ارتفاعی ماهواره SRTM^۲ با قدرت تفکیک مکانی سی متر استفاده شد. فاز نویز با استفاده از فیلتر تطبیقی حذف شد. مرحله بعد ایجاد سری زمانی جابه‌جایی با استفاده از تداخل نماهای است. هدف اصلی وارونه کردن تداخل نماها، برای دستیابی به میزان جابه‌جایی در زمان‌های دریافت تصاویر، با روش کمترین مربعات است که در نرم افزار GMTSAR انجام شد. سرانجام سری زمانی SBAS تغییرات جابه‌جایی، براساس مرحله فاز آنرب و همبستگی، انجام شد.

۳-۲- روش پژوهش

در این مقاله، از روش SBAS برای بررسی تغییرشکل زمین، ناشی از فعالیت‌های معدن‌کاری، استفاده شده است. الگوریتم SBAS شبکه اینترفروگرام مکانی-زمانی را نشان می‌دهد که در آن یک محور بیانگر مبنای مکانی (متر) و محور دیگر نشان‌دهنده زمان (روز) تصویر است. هر نقطه یک تصویر سنتینل-۱ را نشان می‌دهد. هندسه دریافت تصاویر در شکل ۲ نشان داده شده است. در این شکل، محور افقی زمان به روز شده است؛ اولین تاریخ تصاویر صفر در نظر گرفته شده و بقیه تصاویر نسبت به آن محاسبه می‌شود و هر خط نشان‌دهنده یک اینترفروگرام نمودار بین یک جفت تصویر است. برای تشکیل هر اینترفروگرام، از جفت تصویری استفاده می‌شود که کمترین طول خط مبنای از نظر زمانی و مکانی دارند. در این روش، اینترفروگرام‌ها به جای آنکه فقط نسبت به یک مرجع تشکیل شوند، در میان آن دسته از تصویری تشکیل می‌شوند که خط مبنای زمانی و مکانی کوتاه‌تری دارند. این کار برای جلوگیری از ایجاد خط مبنای مکانی بلند، که مسبب



شکل ۲. شبکه مکانی-زمانی تداخل نماهای الگوریتم SBAS

1. Filter Wave Length

2. Shuttle Radar Topography Mission

۳- نتایج

امتداد خط دید (LOS)^۱ ماهواره رadar اعمال می شود زیرا حساسیت رadar بیشتر به جابه جایی های عمودی است. نتایج به دست آمده در این مقاله نشان داد مقدار متوسط تغییرات ارتفاعی زمین ۰- تا ۳۰- میلی متر در سال است. طبق بررسی ها، بیشترین تغییرات و جابه جایی در سطح مخروط افکنه ها (دایره قرمز) و بیشترین میزان جابه جایی ۰- تا ۱۲۰- میلی متر است (شکل ۵). منطقه دارای آب و هوای خشک، با حداقل دمای ۳۵ درجه سانتی گراد در جولای / اوت و حداقل دما، از ۵- تا ۱۱- درجه سانتی گراد در زانویه / فوریه است. بارندگی اغلب به صورت رگبار باران در آوریل و مه و با میانگین سالیانه ۱۵۰ میلی متر رخ می دهد. تبخیر، در طول سال، بیش از میزان بارندگی است و طی تابستان، وزش باد مداوم هرات از ۳۰ تا ۱۲۰ کیلومتر در ساعت رخ می دهد. جدول ۱ شامل خلاصه داده های اقلیم شناسی معدن سنگان است.

وضعیت معدن سنگ آهن سنگان بیان می کند فعالیت های انسانی مؤثر ترین علل تغییرات ژئومورفولوژیکی و زیست محیطی است که موجب تخریب می شود. از جمله این فعالیت ها می توان به استخراج مواد معدنی اشاره کرد که نقشی مهم در ایجاد مشکلات زیست محیطی، همچون آلودگی شدید جوی و فرسایش خاک، دارد. در میان مواد معدنی، سنگ آهن یکی از فراوان ترین عناصر فلزی در زمین است. از جمله مشکلات زیست محیطی می توان به تغییرات در محیط بهعلت وسعت عملیات معدن کاری، حجم زیاد باطله های معدنی و دپوی آنها، و گرد و غبار ناشی از معدن کار (شکل ۳) اشاره کرد.

نتایج به دست آمده از پردازش تصاویر رadarی سنتیتل بدین شرح است: نتایج پاییش تغییر شکل زمین اغلب در

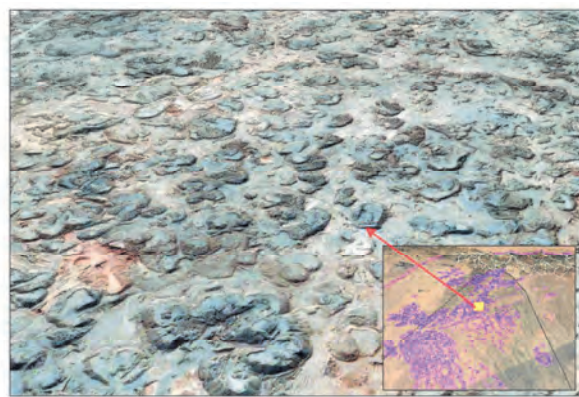


شکل ۳. تصویری از گرد و غبار ایجاد شده ناشی از فعالیت های معدنی

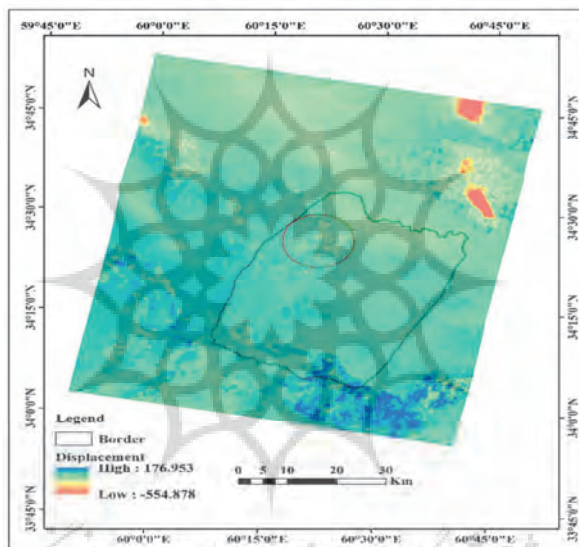
جدول ۱. داده های اقلیم

واحد	مقدار	پارامتر
متر	۱۲۴۰	ارتفاع متوسط
میلی متر	۱۵۰	متوسط بارندگی
میلی متر	۲۰	حداقل بارش روزانه
روز	۷	میانگین روزهای یخبندان
میلی متر	۱۵	حداقل برف روزانه ثبت شده
درجه سانتی گراد	۳۲	حداقل دما در سایت معدن
درجه سانتی گراد	-۱۵	حداقل دما در سایت معدن
میلی متر	۳۹۰۰	حداقل تبخیر سالیانه

1. Line of Sight



شکل ۴. نمایی از وضعیت باطله‌های انباشته شده در سطح پلاسی ها

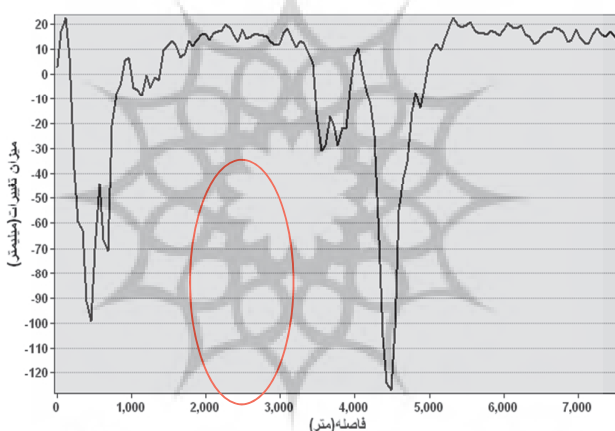


شکل ۵. میانگین میزان جابه جایی در راستای دید ماهواره (LOS)

پرستال جامع علوم انسانی

در مترمکعب)، فقط در ایستگاه اداری و نگهبانی مقدار گردوغبار کل کمتر از حد استاندارد ایران است و در بقیه ایستگاه‌های نمونه‌گیری، به‌ویژه ایستگاه سنگشکن، گردوغبار کل هشتاد برابر استاندارد ایران است. به‌منظور نمایش بهتر تغییرات سطحی نیم‌رخ عرضی از جایه‌جایی تجمعی ۲۰۱۴ تا ۲۰۲۰، در ابتدا مخروط‌افکنه اصلی ترسیم شد (شکل‌های ۶ و ۷). این نیم‌رخ تغییرات متناسب را که به صورت برآمدگی و فرورفتگی (برداشت ماده معدنی و انباشت مواد باطله) اتفاق افتدۀ است، به خوبی نشان می‌دهد. در شکل ۷، نمایی از این تغییرات معدن کاری بر سطح مخروط‌افکنه نشان داده شده است.

با توجه به ویژگی‌ها و شرایط مورد اشاره، فعالیت‌های معدن کاری سبب تغییرات ژئومورفولوژیکی و به‌تبع آن، تشدید مشکلات زیست‌محیطی، همچون پدیده گردوغبار و پیامدهای آن، مانند بیماری‌های تنفسی شده است. درباره پدیده گردوغبار، نتایج آزمایش‌های پیشین (Naghizadeh et al., 2007) نشان می‌دهد با تغییرات سطح زمین و به‌دلیل آن تسربی فرایندهای ژئومورفیکی مانند فرسایش بادی، فرایندهای دامنه‌ای، افزایش بار ستر آبراهه‌ها، پدیده گردوغبار نیز در منطقه سرعت بیشتری یافته است. نقی‌زاده^۱ و همکاران (۲۰۰۷) با بررسی میزان گردوغبار معدن سنگ‌آهن سنگان به این نتیجه رسیدند که با توجه به استاندارد کل گردوغبار ایران (۱۰ میلی‌گرم



شکل ۶. نیم‌رخ ترسیم شده از میزان جایه‌جایی تجمعی طی ۲۰۱۴ تا ۲۰۲۰



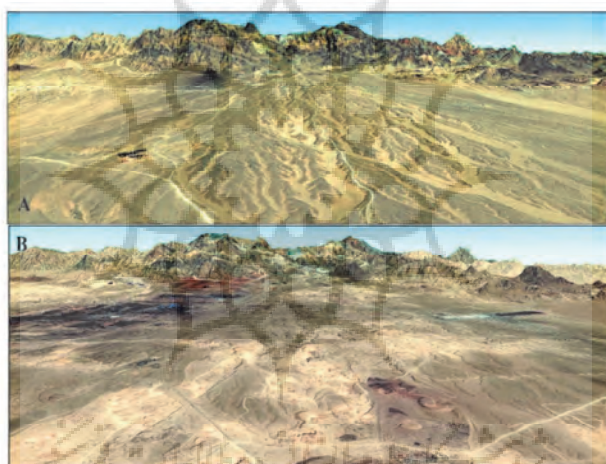
شکل ۷. نمایی از محل دایره قرمز ترسیم شده در نیم‌رخ

1. Naghizadeh

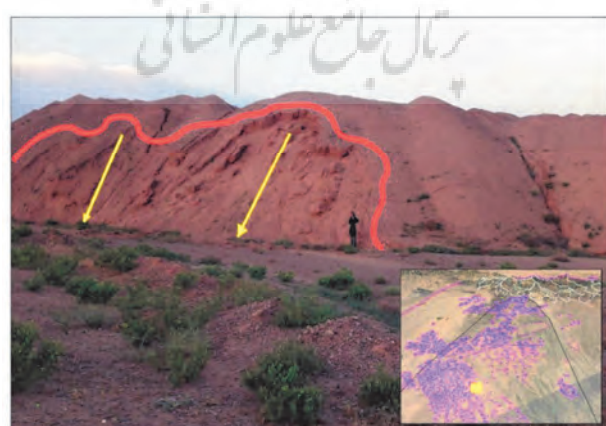
سیلاب های منطقه و به دنبال آن خطرات و عدم ذخیره اب ناشی از سیلاب در مناطق پایین دست می باشد که قبل ابراهیم آبیاری مزارع مورد استفاده قرار می گرفت. از طرفی دیگر انباست باطله ها، فرایندهای دامنه ای نظیر پدیده های لغزش بر روی آنها، تغییر مسیر آبراهه ها و همچنین افزایش و تغییر بار رسوبی آبراهه ها، تغییر در نیم رخ و مورفولوژی سطح زمین گردیده است (شکل ۹). در تصاویر مورد اشاره، وضعیت منطقه قبل و بعد از تغییرات نشان داده شده است که تا حدود زیادی می تواند گویای مسائل بیان شده باشد. در معدن سنگان، ریزش های ناشی از فعالیت های انسان زیاد رخ داده است.

تغییر ژئومورفولوژی مهم منطقه به هم ریختن الگوی شبکه زهکشی است. شکل ۸ وضعیت شبکه آبراهه ها و حوضه آبریز را قبل و بعداز معدن کاری، نمایش می دهد. در شکل ۸، وضعیت شبکه های آبراهه ها را قبل از معدن کاری در سال ۲۰۱۱(A) و بعد از استخراج و معدن کاری و انباست باطله ها در سال ۲۰۲۲(B) را نشان می دهد.

به هم ریختن الگوی شبکه زهکشی موجب تغییر مسیر سیلاب های منطقه می شود و به دنبال آن، برخی خطرها و ذخیره نشدن آب ناشی از سیلاب در مناطق پایین دست که پیشتر برای آبیاری مزارع به کار می رفت، رخ می دهد. از سوی دیگر انباست باطله ها، بهم ریختن الگوی شبکه زهکشی موجب تغییر مسیر



شکل ۸. وضعیت شبکه زهکشی سطح پلاسی قبلاز برداشت (A) سال ۲۰۱۱ و وضعیت شبکه زهکشی بعد برداشت (B) سال ۲۰۲۲



شکل ۹. فعالیت های معدن کاری و انباست باطله ها با فعال شدن فرایندهای ژئومورفیک دامنه ای نظیر لغزش

بررسی تغییرات توپوگرافی ناشی از معدن کاری سطحی ...

می‌تواند یکی پیامدهای ناشی از تغییرات زئومورفولوژیکی، منطقه، فرسایش شیاری و ترک‌های کششی که در سطح باطله‌ها اتفاق می‌افتد (شکل‌های ۱۱ و ۱۲)



شکل ۱۰. تخریب ناشی از سیلاب‌های بزرگ



شکل ۱۱. فرسایش شیاری سطح باطله‌ها



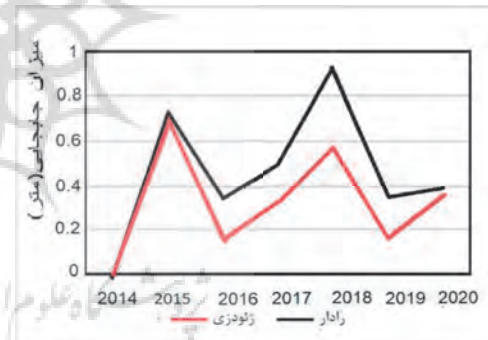
شکل ۱۲. ترک‌های کششی سطح باطله‌ها

استفاده از این شیوه باعث کاهش هزینه‌ها خواهد شد. نتایج این مقاله نشان می‌دهد، در مناطقی که موقعيت مناسبی برای معدن‌کاری دارند، تخریب بیشتری نیز اتفاق می‌افتد. بدیگر سخن، در جایی که معدن‌کاری انجام می‌شود باید انتظار تخریب چشم‌اندازهای طبیعی و ژئومورفولوژی را داشت. همان‌گونه که یافته‌های این مقاله نشان می‌دهد، میزان تغییرات ناشی از فعالیت‌های معدنی در مورفولوژی منطقه بهقدرتی است که منطقه بهطور کلی دست‌خوش تغییرات و مخاطرات فراوان شده است. مقاله حاضر مؤید آن است که وقتی در معادن پلاسربی برداشت انجام می‌شود، الگوهای ژئومورفولوژی پیرامون دشت تغییر می‌کند؛ بهطوری که طبق نتایج آنالیز سری زمانی تداخل‌سنگی راداری با استفاده از الگوریتم SBAS، بیشترین میزان تغییرات تجمعی در معادن پلاسربی، طی بازه مورد بررسی، ۱۲۰- میلی‌متر است و در مقایسه با داده‌های حاصل از توتال استیشن بهطور خیلی تقریبی، الگوی مشابهی را طی می‌کند. الگوریتم SBAS با داده‌های سنتیل-۱، تاحدودی و بهشرط دردسترس‌بودن داده‌های ترازیابی بهمنظور مقایسه نتایج، می‌تواند ابزاری برای نظارت بر تغییرشکل در معادن سنگ‌آهن سنگان خوف فراهم کند. نتیجه آن که با توجه به افزایش تصاعدی روند برداشت در منطقه مورد مطالعه، تغییر الگوهای زهکشی و فرایندهای ژئومورفولوژیکی مهم‌ترین خطر برای محیط‌زیست و زیرساخت‌های انسانی خواهد بود و پیشنهاد می‌شود طی مطالعات آینده، در صورت سیستم پردازش سنگین، پایش با تصاویر بیشتری انجام شود.

۵- تشکر و قدردانی

از همکاری آژانس فضایی اروپا (ESA)، بهدلیل دریافت تصاویر راداری، سپاسگزاریم و از مجتمع معدن سنگ‌آهن سنگان نیز، بابت ارائه داده، قدردانی می‌کنیم.

برای مقایسه و ارزیابی نتایج تغییرات سطحی با استفاده از رادار، داده‌های ترازیابی حاصل از نقشه‌برداری با توتال استیشن (دو بار در هر سال)، مربوط به واحد ژئومورفولوژی کوهستان در سال‌های ۲۰۱۴-۲۰۲۰ استفاده شده است. همان‌طور که در شکل ۱۳ ملاحظه می‌شود، میزان تغییرات حاصل از داده‌های راداری با استفاده از الگوریتم SBAS، در مقایسه با داده‌های نقشه‌برداری زمینی، بهطور کلی و تقریبی الگوی مشابهی را طی کرده است. با این حال، بهدلیل فقدان داده‌های متوالی و کافی نقشه‌برداری زمینی از سطح پلاسربی‌ها خطاهایی وجود دارد و افزون‌براین، در نقشه‌برداری زمینی، تغییرات ارتفاعی برای یک نقطه اندازه‌گیری می‌شود اما در تداخل‌سنگی، مقدار میانگین از نقاط مجاور یکدیگر بهدست می‌آید.



شکل ۱۳. مقایسه داده‌های راداری و توتال استیشن سال‌های ۲۰۱۴-۲۰۲۰

۴- بحث و نتیجه‌گیری

در پژوهش حاضر، ابتدا با مطالعات میدانی و بازدیدهای محلی، تغییرات روی زمین ملاحظه شد. برای اندازه‌گیری میزان این تغییرات، از روش آنالیز سری زمانی تداخل‌سنگی راداری تحت الگوریتم SBAS استفاده شد. در مطالعه معادن روباز وسعت منطقه‌ای که تصاویر SAR پوشش می‌دهند به مرتبه بیشتر است و

۶- منابع

- Berardino, P., Fornaro, G., Lanari, R. & Sansosti, E., 2002, **A New Algorithm for Surface Deformation Monitoring Based on Small Baseline Differential SAR Interferograms**, IEEE Transactions on Geoscience and Remote Sensing, 40(11), PP. 2375-2383.
- Brown, A.G., Tooth, S., Chiverrell, R.C., Rose, J., Thomas, D.S., Wainwright, J., ... & Downs, P., 2013, **The Anthropocene: Is There A Geomorphological Case?**, Earth Surface Processes and Landforms, 38(4), PP. 431-434.
- Du, Q., Li, G., Zhou, Y., Chai, M., Chen, D., Qi, S. & Wu, G., 2021, **Deformation Monitoring in an Alpine Mining Area in the Tianshan Mountains Based on SBAS-InSAR Technology**, Advances in Materials Science and Engineering.
- Ellis, E.C., 2011, **Anthropogenic Transformation of the Terrestrial Biosphere**, Philosophical Transactions of the Royal Society A: Mathematical, Physical and Engineering Sciences, 369(1938), PP. 1010-1035.
- Foley, J.A., DeFries, R., Asner, G.P., Barford, C., Bonan, G., Carpenter, S.R., ... & Snyder, P.K., 2005, **Global Consequences of Land Use**, Science, 309(5734), PP. 570-574.
- Ferretti, A., Prati, C. & Rocca, F., 2001, **Permanent Scatterers in SAR Interferometry**, IEEE Transactions on Geoscience and Remote Sensing, 39(1), PP. 8-20.
- Gabriel, A.K., Goldstein, R.M. & Zebker, H.A., 1989, **Mapping Small Elevation Changes over Large Areas: Differential Radar Interferometry**, Journal of Geophysical Research: Solid Earth, 94(B7), PP. 9183-9191.
- Ge, L., Chang, H.C. & Rizos, C., 2007, **Mine Subsidence Monitoring Using Multi-Source Satellite SAR Images**, Photogrammetric Engineering & Remote Sensing, 73(3), PP. 259-266.
- Hu, Z., Ge, L., Li, X., Zhang, K. & Zhang, L., 2012, **An Underground-Mining Detection System Based on DInSAR**, IEEE Transactions on Geoscience and Remote Sensing, 51(1), PP. 615-625.
- Naghizadeh, A., Mahvi, A.H., Alidadi, H. & Dadpour, A.R., 2007, **Investigating the Level of Dust and Free Silica Present in the Air of Khavaf Iron Ore Mines and Providing Solutions to Reduce Silicosis**, The 11th National Conference on Environmental Health of Iran, Zahedan.
- Li, Z.W., Yang, Z.F., Zhu, J.J., Hu, J., Wang, Y.J., Li, P.X. & Chen, G.L., 2014, **Retrieving Three-Dimensional Displacement Fields of Mining Areas from a Single InSAR Pair**, J. Geod., 89, PP. 17-32.
- Liu, X., Xing, X., Wen, D., Chen, L., Yuan, Z., Liu, B. & Tan, J., 2019, **Mining-Induced Time-Series Deformation Investigation Based on SBAS-InSAR Technique: A Case Study of Drilling Water Solution Rock Salt Mine**, Sensors, 19(24), P. 5511.
- Liu, J., Ma, F., Li, G., Guo, J., Wan, Y. & Song, Y., 2022, **Evolution Assessment of Mining Subsidence Characteristics Using SBAS and PS Interferometry in Sanshandao Gold Mine, China**, Remote Sensing, 14(2), P. 290.
- Pawluszek-Filipiak, K. & Borkowski, A., 2020, **Integration of DInSAR and SBAS Techniques to Determine Mining-Related Deformations Using Sentinel-1 Data: The Case Study of Rydułtowy Mine in Poland**, Remote Sensing, 12(2), P. 242.
- Shami, S., Mashhadhi, H.A. & Babaei, S., 2018, **Analysis of Large-Scale Displacements Using Radar Interferometry Technology in Open Pit Mines (Case Study: Sirjan Golgohar Mine)**, Scientific Journal of Mapping and Spatial Information Engineering, 10(3), PP. 41-51.
- Tang, W., Motagh, M. & Zhan, W., 2020, **Monitoring Active Open-Pit Mine Stability in the Rhenish Coalfields of Germany Using a Coherence-Based SBAS Method**, International Journal of Applied Earth Observation and Geoinformation, 93, P. 102217.
- Tarolli, P., 2014, **High-Resolution Topography for Understanding Earth Surface Processes: Opportunities and Challenges**, Geomorphology, 216, PP. 295-312.

- Tarolli, P. & Sofia, G., 2016, **Human Topographic Signatures and Derived Geomorphic Processes Across Landscapes**, Geomorphology, 255(3), PP. 140-161.
- Zebker, H.A. & Villasenor, J., 1992, **Decorrelation in Interferometric Radar Echoes**, IEEE Transactions on Geoscience and Remote Sensing, 30(5), PP. 950-959.
- Zhang, L., Ge, D., Guo, X., Liu, B., Li, M. & Wang, Y., 2020, **InSAR Monitoring Surface Deformation Induced by Underground Mining Using Sentinel-1 Images**, Proceedings of the International Association of Hydrological Sciences, 382, PP. 237-240.
- Zhu, Y., Zhou, S., Zang, D. & Lu, T., 2018, **Monitoring of Surface Subsidence of the Mining Area Based on SBAS**, International Archives of the Photogrammetry, Remote Sensing and Spatial Information Sciences, 42, P. 3.
- Yao, J., Yao, X., Wu, Z. & Liu, X., 2021, **Research on Surface Deformation of Ordos Coal Mining Area by Integrating Multitemporal D-InSAR and Offset Tracking Technology**, Journal of Sensors.
- Yuan, M., Li, M., Liu, H., Lv, P., Li, B. & Zheng, W., 2021, **Subsidence Monitoring Base on SBAS-InSAR and Slope Stability Analysis Method for Damage Analysis in Mountainous Mining Subsidence Regions**, Remote Sensing, 13(16), P. 3107.

پژوهشگاه علوم انسانی و مطالعات فرهنگی
پرستال جامع علوم انسانی



سنجش از دور

، ایران GIS



سنجش از دور و GIS ایران سال پانزدهم، شماره سوم، پاییز ۱۴۰۲
Vol.15, No. 3, Autumn 2023 Iranian Remote Sensing & GIS

27-40

Investigation of Topographic Changes in Open Pit Mines by Radar Interferometry (Case Study: Sangan- Khaf iron Ore Mines)

Naddaf Sangani M.¹, Hosseinzadeh S.R.^{2*}, Martín Duque J.F.³, Jahadi Toroghi M.⁵, Hafezi Moghaddas N.⁴

1. Ph.D. Student of Geomorphology, Ferdowsi University of Mashhad, Mashhad
2. Associate Prof., Dep. of Geography, Ferdowsi University of Mashhad, Mashhad,
3. Associate Prof. of Geomorphology, Faculty of Geological Sciences, Complutense University of Madrid, Madrid, Spain
4. Assistant Prof., Dep. of Geography, Payame Noor University, Tehran
5. Prof. of Dep. of Geology, Ferdowsi University University of Mashhad, Mashhad

Abstract

In the early 1990s, radar interferometry was introduced and used as a useful tool in the study of all phenomena that cause land surface deformations. If the land surface deforms between two radar images, a surface displacement map can be created with millimeter resolution and accuracy. This paper reports the findings of the Sentinel -A data time series results using the SBAS algorithm to detect surface deformation in the Sangan iron ore mine. Sangan Iron Ore Mine is the largest open pit iron ore deposit in the Middle East. Due to mining activities, this mine has undergone many changes in terms of topography and geomorphology, which can intensify geomorphological processes. To detect and obtain the amount of land deformation, 48 SAR images of Sangan iron ore mine obtained by the European Space Agency's Sentinel 1-A satellite were used. The time series (2014-2020) obtained from the deformation in the range of placer mines were analyzed. The results show the average displacement rate of -20 to -35 mm per year and the maximum cumulative rate of deformations of -120 mm. Investigation of the cross-section in the two parts of the apex and the center of the alluvial fan in the placer mines during the period 2014-2017 shows the topographic changes well. To evaluating the reliability of the results, the results derived from SBAS have been compared due to the lack of data in the range of placer mines with the values measured by the total station related to the mountain unit in the years 2020-2014. The results showed that the rate of deformations from radar data using the SBAS algorithm compared to the leveling data has followed a similar pattern. However, there may be some error due to the different nature, ie in the leveling of elevation deformations measured for a point, but in interferometry the average rate is obtained from adjacent points.

Keywords: Sangan-Khaf, Iron ore, Radar interferometry, SBAS, Sentinel 1-A.

* Correspondence Address: Department of Geography, Faculty of Letters and Humanities, Ferdowsi University of Mashhad
Email: srosseinzadeh@um.ac.ir
<https://orcid.org/0000-0002-8653-5473>
<https://dx.doi.org/10.48308/gisj.2023.102345>



Copyright: © 2023 by the authors. Submitted for possible open access publication under the terms and conditions of the Creative Commons Attribution (CC BY) license (<https://creativecommons.org/licenses/by/4.0/>).